

تعیین ماهیت میانبارهای ماقمایی گرانیت‌های پلوتونیک ملایر با تکیه بر روش‌های ژئوشیمیایی و آماری

رضا دیوسالار^۱، محمدولی ولی‌زاده^۲ و حیدر احمدنژاد^۳^۱گروه زمین‌شناسی، دانشکده علوم پایه، دانشگاه تربیت مدرس تهران، تهران، ایران^۲پردیس علوم، دانشکده زمین‌شناسی، دانشگاه تهران، تهران، ایران^۳دانشگاه پیام نور، تهران، ایران

تاریخ دریافت: ۱۳۸۹/۰۸/۰۸ | تاریخ پذیرش: ۱۳۸۸/۰۶/۱۷

چکیده

گرانیت‌های مجموعه پلوتونیک ملایر دارای میانبارهای (انکلاو) ماقمایی با تنوع اندازه، شکل ظاهری، کانی‌شناسی و ترکیب شیمیایی است. تفسیر نمودارهای دومتغیره ژئوشیمیایی عناصر اصلی و کمیاب با توجه به محتوای بالاتر برخی از اکسیدها مانند MnO , TiO_2 , MgO , CaO در نمونه‌هایی از میانبارها نسبت به سنگ میزبان و همین طور روندهای خطی مشاهده شده از این اکسیدها و برخی از عناصر کمیاب همچون Cr , Ni , V نشان‌دهنده ماهیت متفاوت و در واقع منشأ مافیک‌تر این دسته از میانبارها (نوع مافیک) نسبت به سنگ میزبان و دیگر میانبارهای فلزیک است. مطالعه ترکیب شیمیایی میانبارها در مقایسه با سنگ میزبان، بهره‌گیری از روش‌های آماری دو و چندمتغیره (رگرسیون دو متغیره، ضرایب همبستگی)، تحلیل خوشای و تحلیل مؤلفه‌های اصلی (یانگر) تباین مشخص ترکیب شیمیایی بین میانبارهای مافیک با فلزیک و سنگ میزبان و از طرفی شباهت بین میانبارهای فلزیک و سنگ میزبان است. این ویژگی به صورت پراکندگی مشخص بیشتر اکسیدها نسبت به خط رگرسیون و ضریب R^2 پایین در رگرسیون دومتغیره، ضرایب همبستگی ناچیز اکسیدهای عناصر اصلی و اغلب عناصر کمیاب میانبارهای مافیک در برابر سنگ میزبان، قرار گیری نمونه‌ها در دو گروه متفاوت و مجزا در الگوی شاخه درختی و جهت‌گیری بردار متغیرها و نمونه‌ها در نمودار دومتغیره تحلیل مؤلفه‌های اصلی (PCA) قابل مشاهده است و تأیید کننده روندهای ژئوشیمیایی متفاوت مشاهده شده برای عناصر مختلف در میانبار و سنگ میزبان در نمودارهای دو متغیره ژئوشیمیایی (هارکر) است.

کلید واژه‌ها: میانبار، سنگ میزبان، کانی‌شناسی، ژئوشیمی، ضرایب همبستگی، روش‌های آماری

*نویسنده مسئول: رضا دیوسالار

E-mail: Reza_dsalar@yahoo.com

۱- مقدمه

باتولیت الوند انجام شده است که می‌توان به مواردی همچون هاشمی (۱۳۸۵)، Ghalamghash et al. (2009)، صادقیان (۱۳۸۳)، Sepahi (2007) اشاره کرد.

۲- ویژگی‌های صحرایی و سنگ‌نگاری

بر اساس مشاهدات صحرایی و مطالعات میکروسکوپی، مجموعه پلوتونیک ملایر را می‌توان در حالت کلی به سه بخش عمده ۱) گرانیتی (شامل مونزو-گرانیت و سینو-گرانیتی)؛ ۲) گرانو-دیوریتی (شامل گرانو-دیوریت، توپالیت و کوارتز-دیوریت)؛ ۳) گابریو-دیوریتی (شامل گابریو، دیوریت، مونزو-دیوریت و مونزو-گابریو) تقسیم کرد. بخش عمده این مجموعه را گرانو-دیوریت‌ها تشکیل می‌دهند که دارای ترکیب کانی‌شناسی تقریباً مشخصی مانند: کوارتز، پلازیو-کلاز، فلدسپار-قلایی (میکرو-کلین و ارتون-کلاز)، بیوتیت، آمفیبول، آپاتیت، زیرکن، اسفن و آلاتیت هستند و نسبت حجمی هر یک از آنها در نمونه‌های مختلف اندکی متفاوت است. در این بخش، بیوتیت یک فاز شاخص و در برخی مناطق جهت یافته است و با آرایش خطی و منظم خود، ظاهری متورق به سنگ‌ها داده است. مونزو-سینو-گرانیت‌ها که مرز مشخصی با یکدیگر ندارند، نسبت به گرانو-دیوریت‌ها، رخنمون محدودتر و گسترش کمتری دارند و در چند نقطه محدود با آن سطح تماس مشخصی دارند. تفاوت‌های کانی‌شناسی آن با بخش گرانو-دیوریتی، فراوانی فلدسپار-قلایی (ارتون-کلاز، میکرو-کلین) نسبت به پلازیو-کلاز، کاهش نسبت حجمی کانی‌های مافیک مانند آمفیبول و بیوتیت و حضور کانی‌تورمالین در برخی از نمونه‌های است. فازهای فرعی آن، سوزن‌های آباتیت، به صورت میانبار در ارتون-کلاز و بیوتیت، زیرکن و اسفن است. بخش‌های دیوریتی تا گابریو-دیوریتی (با وسعت کمتر از ۲ کیلومتر مریع) به صورت چند توده با رخنمون کشیده چندصد متري و رنگ کاملاً تیره حضور دارند. رخنمون توده‌های مافیک گابریوی محدود به کوه تنگساران بوده و شامل گابریو-دیوریت اوژیت و الیوین دارد.

با توجه اهمیت گرانیت به عنوان سنگی که بخش بزرگی از پوسته نواحی قاره‌ای کره زمین را به خود اختصاص داده و همواره مورد توجه زمین‌شناسان قرار داشته است، باید از جنبه‌های متفاوت مطالعه شود و همه عوامل مؤثر در مطالعه دقیق آنها در نظر گرفته شود. مطالعه میانبارهای موجود در گرانیت‌ها یکی از بخش‌های مهم در مطالعه آنهاست، که حضور و دسترسی به آنها فرصت مناسبی را برای درک تحولات در مقیاس یک رخنمون تا کل توده‌های نفوذی در یک منطقه خاص فراهم می‌کند. این مقاله به بررسی وضعیت میانبارها در گرانیت‌های مجموعه پلوتونیک ملایر می‌پردازد. مجموعه پلوتونیک ملایر در شمال باختز زون سنتنچ-سیرجان، محدوده گلپایگان-سنتنچ (افتخارثزاد، ۱۳۶۰) در عرض جغرافیایی $۳۴^{\circ} ۳۴' - ۳۴^{\circ} ۴۰'$ و طول $۵۲' - ۴۸^{\circ} ۳۰'$ قرار دارد. این مجموعه به دلیل قرار گرفتن در یکی از مهم‌ترین و فعال‌ترین مناطق ساختاری ایران از اهمیت ویژه‌ای برخوردار است و به عنوان محصولی از ماقمایتیسم مرتبط با فعالیت‌های زمین‌ساختی، می‌تواند همراه با دیگر توده‌های نفوذی زون سنتنچ-سیرجان، در تحلیل تحولات ماقمایی آن مؤثر واقع باشد. در همین راستا، مطالعاتی در این محدوده انجام شده است، از آن جمله: فرقانی (۱۳۴۸)، مدنی‌ایوری (۱۳۵۹)، گودرزی (۱۳۷۴)، که هر یک از دیدگاه‌های متفاوت به مطالعه پرداخته و بخشی از ابهامات را بر طرف کرده‌اند. در این مقاله، ماهیت میانبارهای گرانیت‌ویدهای مجموعه پلوتونیک ملایر با استفاده از اطلاعات ژئوشیمیایی بر اساس روش‌های آماری بررسی شده است. پیش از این نیز در قالب دو مقاله، به بررسی ویژگی‌های کانی‌شناسی و ژئوشیمیایی این میانبارها (دیوسالار و همکاران، ۱۳۸۸) و استفاده از شواهد صحرایی و ریزساختاری در تعیین ماهیت آنها پرداخته شده است (دیوسالار و ولی‌زاده، ۱۳۸۹). افزون بر این، مقالاتی نیز در مورد آمیختگی ماقمایی و میانبارهای مافیک در منطقه سنتنچ-سیرجان، به ویژه بر روی

افزوده می‌شود. در مرز بین میانبار و میزان جهت یافته‌گی مشخص کانه‌های بیوتیت و پلازیوکلاز و انحراف، جدایش و کنده شدن برخی درشت بلورهای میزان مانند پلازیوکلاز و حضور آنها در درون میانبار شایان توجه است که نشانگر حضور میانبار و میزان به صورت مذاب یا نیمه مذاب در کنار هم است (Silva et al., 2000) (شکل ۱-۲-i).

مشاهدات صحرایی و بررسی شکل این میانبارها و ناحیه مرزی میانبار-سنگ میزان نشان می‌دهد که اختلاف گرانزوی مناسبی بین این دو وجود داشته و شکل‌های کروی، بیضوی و دوکی شکل... محصول این اختلاف هستند (شکل ۱-۲-d, e, f)، چرا که تشکیل مرز محدب بین میانبار و میزان، نیازمند مقاومت مذاب منشأ میانبار در برابر تنش‌های هیدرولوستیک و همین طور جهت‌دار وارد شده از طرف مگماهی در برگیرنده است و نیروی مقاوم، گرانزوی بالاتر مذاب میانبار در سطح تماسی است که در اثر همبrij با مگماهی میزان به طور ناگهانی سرد شده است و به این ترتیب، پوسته‌ای مقاوم با گرانزوی بالاتر از جنس مگماهی میانبار باعث ایجاد سطح تماس محدب می‌شود (Blake & Fink, 2000).

همچنین، شکل میانبارها در حاشیه توده آذرین کشیده بوده و به سمت درون توده به شکل کروی یا بدون شکل تغییر می‌کنند که از جمله شواهد رخداد جریان مگماهی و حضور این میانبارها به صورت بسته‌های مگماهی در مگماهی گرانیتی است.

در راستای تفکیک و تعیین منشأ میانبارهای مافیک (نوع دوم) از طریق ترکیب شیمیایی، تعداد بیست نمونه مناسب از میانبارها و سنگ‌های میزان از نقاط مختلف توده، انتخاب شده و در آزمایشگاه XRF دانشگاه تربیت معلم تهران بر روی آنها تجزیه شیمی سنگ کل صورت گرفت (شکل ۱، جدول ۱).

۳- ژئوشیمی میانبارهای مافیک

مقایسه مقادیر عناصر اصلی میانبارهای ماگماهی گروه دوم (دیوریتی,...) با سنگ میزان، نشان می‌دهد که تنها روند تغییرات برخی از عناصر اصلی از مقادیر سنگ میزان پیروی می‌کنند، باقیمانده آنها ای مقادیر بالاتری دارند و یا زیر روند مشاهده شده در میزان قرار می‌گیرند. محتوای بالاتر MnO , MgO , CaO , FeO و پایین تر SiO_2 در میانبارهای ماگماهی مافیک نسبت به میزان گرانیتی با نسبت حجمی بالاتر کانه‌های پلازیوکلاز، بیوتیت و هورنبلندر آنها سازگار است (جدول ۱).

در حالت کلی، مقادیر و همیستگی‌های ظاهری مشاهده شده بین عناصر و اکسیدهای مختلف در نمودارهای دوم‌تغییره ژئوشیمیایی (هارکر) با توجه به وضعیت کانی‌شناسی میانبارها و سنگ میزان در قالب فرایندمایی مانند آمیختگی ماگماهی، آلایش ماگماهی، دگرسانی و متاسوماتیسم قابل توجیه هستند (شکل‌های ۳ و ۴). از جمله شواهد برای رخداد پدیده آمیختگی ماگماهی و منشأ مافیک‌تر میانبارهای ماگماهی نوع دوم، می‌توان به روند خطی و نزولی الگوی تغییرات SiO_2 از میانبار به سنگ میزان، همیستگی ظاهری منفی ($FeO_{(i)}$) با افزایش SiO_2 از میانبار به سنگ میزان، همیستگی (SiO_2) مناسب موجود بین عناصر Ni ، Cr با $FeO_{(i)}$ در میانبارهای مافیک (شکل ۳) همراه با کاهش پیشونده مقادیر Cr و Co از میانبار به میزان با افزایش SiO_2 ($FeO_{(i)}$, TiO_2) (Kumar & Rino, 2006) و MgO با افزایش SiO_2 (شکل ۳) به وسیله جدایش بیوتیت در خلال تفرقی درونی ماگماهی میانبار و میزان در اثر آمیختگی ماگماهی (Kumar & Rino, 2006) و کاهش نسبت حجمی کانه‌های روتبیل، اسفن و ایلمنیت انجام شده است.

از جمله شواهد برای رخداد پدیده آلایش ماگماهی، می‌توان به مقادیر بالاتر اکسیدهای K_2O و Na_2O در سنگ میزان نسبت به میانبارهای همیستگی ظاهری ضعیف (Na_2O و K_2O با SiO_2 و CaO) و روند نامشخص تغییرات آنها در برابر SiO_2 در میانبار و سنگ میزان اشاره کرد. شباهت در مقادیر این دو اکسید بسیار متاخر ک در

(بخش اعظم دامنه شمالی) و گابرپرو- دیوریت دارای اوژیت و فاقد البوین (سراسر بخش جنوبی و قسمتی از دامنه شمالی) است.

مجموعه کانی‌شناسی مشاهده شده در دیوریت‌ها شامل پلازیوکلاز (۵۸٪)، آمفیبول (۱۷٪)، بیوتیت (۸٪)، کوارتز (۳٪)، آرتوکلاز (۳٪)، آپاتیت، اسفن و زویسیت و کانی‌های تیره و کلریت و سریسیت و گاه درشت بلورهای آندالوزیت با بافت ریزدانه تا پوروفیری است.

گرانیت‌های مجموعه پلوتونیک ملایر دارای میانبارهای ماگماهی و بیگانه سنگ‌های (زینولیت) دگرگونی متنوعی هستند. بر اساس مشاهدات صحرایی (شکل، رنگ، بافت، ریخت‌شناسی مرز آنها با سنگ میزان) و بر اساس میزان شbahat‌های کانی‌شناختی با سنگ میزان میانبارهای ماگماهی موجود در گرانیت‌های مجموعه نفوذی ملایر، به دو دسته فلزیک و مافیک قابل تقسیم هستند (شکل ۲-e, f, g). میانبارهای فلزیک با شکل‌های متنوع و غیرهندسی، بافت و کانی‌شناسی مشابه سنگ میزان دارند، اما رنگ روشن تری نسبت به میانبارهای مافیک دارند و به نظر می‌رسد از جنس سنگ میزان هستند، هضم شدگی مشخص در حاشیه و نداشتن شکل و موز مشخص با سنگ میزان در آنها، بینگر حضور آنها به صورت قطعات جامد گرانیتی در مگماهی از جنس خود است و در واقع این میانبارها، بیگانه سنگ‌های ماگماهی یا سنگ‌های فلزیک در جا هستند (نوع اول). اشاره به نداشتن مرز کاملاً مشخص به این معنی نیست که روی زمین قابل تشخیص نیستند، بلکه اساساً در مقایسه با میانبارهای مافیک تشخیص آنها دشوارتر است. افزون بر این، وجه تمایز میانبارهای ریزدانه مافیک (نوع دوم) با ترکیب کانی‌شناختی دیوریت، کوارتز دیوریت، مونزونیت و کوارتز مونزونیت و میانبارهای فلزیک با ترکیب کانی‌شناختی گرانوپریوریت و سینو گرانیت با بیگانه سنگ‌های متاپلیتی مجموعه پلوتونیک ملایر بافت هورنفلسی و غیرماگماهی بیگانه سنگ‌ها و حضور برخی کانی‌های خاص رخساره‌های دگرگونی در بیگانه سنگ‌هاست. کانی‌های موجود در میانبارهای ماگماهی مافیک در قالب مجموعه‌های دیوریتی، کوارتز دیوریتی، مونزونپریت و کوارتزمونزونپریت شامل کوارتز، پلازیوکلاز، فلدسپار قلایی، بیوتیت، آمفیبول، آپاتیت، زیرکن، کانی تیره است. سوزن‌های آپاتیت به صورت بیگانه بلور (زینوکریست) در بیوتیت و فلدسپارها، به فراوانی دیده می‌شوند و افزون بر اینها کانی‌های خود شکل و مستقل آپاتیت نیز حضور دارند. فاز فرعی دیگری که به صورت میانبار، بیشتر در بیوتیت‌ها دیده می‌شود، زیرکن است. ساختار پویکلیتی، بافت اسفنجی و میرمکتی و حضور پریت و میکروپریت و رگچه‌های کوارتزی دوباره تبلور یافته در آنها قابل تشخیص است. در اغلب نمونه‌های دگرسان شده میانبارهای دگرسانی‌های پاتاسیک و سدیک همگام با سنگ میزان انجام شده است و تشکیل بیوتیت‌های ثانویه (شکل ۲-k)، کلریت، سریسیت، اسفن، اکسیدهای آهن و روتیل به رخداد این نوع دگرسانی‌ها در کانی‌های اولیه مانند آمفیبول، بیوتیت، پلازیوکلاز و فلدسپار قلایی و رهابی Na , K , Ca , Mg و انتقال برخی از آنها (عناصر متاخر ک) به وسیله سیال‌های ماگماهی یا جوی مربوط است. کانی مافیک آمفیبول در این نمونه‌ها، بعد از مختلفی دارد و در نمونه‌های مکروسکوپی، سوزن‌ها و باگت‌های کوچک- متوسط (۲- ۱mm) سبزرنگ آنها قابل مشاهده است و در مقاطع مکروسکوپی اغلب بی‌شکل و گاه نیمه شکل دار هستند و اغلب به بیوتیت تبدیل شده اند (شکل ۲-e, h), به ویژه در حاشیه‌ها و درزه‌ها و ترکهای سطحی و ادخال‌ها، آپاتیت، اسفن و اکسیدهای دارند. تبدیل هورنبلندر سبز به بیوتیت (بیوتیت‌های ثانویه) نتیجه عملکرد سیال‌های ماگماهی پاتاسیم دار بر روی بلورهای هورنبلندر است و بر اثر این واکنش‌ها، اکسیدهای آهن و تیتانیم آزاد شده و در نهایت کانی‌هایی مثل اسفن و روتیل تشکیل شده‌اند (پاتاسیک).

میانبارهای ریزدانه مافیک، مرز مشخص تری با سنگ میزان دارند و در مشاهدات مکروسکوپی با حرکت از سمت میانبار به میزان، در محدوده میزان، اندازه بلورها

۴- بحث

به منظور در کrok ماهیت میانبارهای مأگمایی منطقه مورد مطالعه از طریق شیمی سنگ کل، از تلفیق نتایج به دست آمده از تحلیل‌های ژئوشیمیایی در بخش قبل و نتایج حاصل از برخی روش‌های آماری استفاده می‌شود. هدف مشترک این دو بخش شناخت، رده‌بندی و تعیین ماهیت میانبارهای مأگمایی از طریق ترکیب شیمیایی آنها است.

همان گونه که می‌دانیم به منظور بررسی تغییراتی که در متغیرهای ژئوشیمیایی (اکسیدهای اصلی و عناصر فرعی) در طی مراحل قبل از سردشدن مأگمای والدیک نمونه سنگی روی می‌دهد و با هدف در کrok فرایندهای مؤثر بر تحولات مأگمایی از نمودارهای دومتغیره عناصر اصلی و فرعی استفاده می‌شود. روندهای مشاهده شده در نمودارهای پراکنده‌گی را می‌توان به عنوان معیاری از رابطه بین متغیرهای مورد مطالعه تلقی کرد. مطالعات ژئوشیمیایی بر تفسیر چشمی این پراکنده‌گی‌ها استوار بوده و روندهای مشاهده شده بر این اساس تفسیر می‌شوند، اما از دیدگاه آماری، داده‌های ژئوشیمیایی مانند هر داده دیگر قابلیت تحلیل عددی نیز دارند، به شکلی که در مطالعات اکتشافی منابع معدنی به صورت گسترده می‌شوند و با شناخت و رعایت محدودیت‌های این اطلاعات، می‌توان به آنها به دیدیک جامعه آماری نگریست و به نتیجه گیری پرداخت. بنابراین لازمه انجام تحقیقات از دیدگاه آماری روی داده‌های ژئوشیمیایی، رعایت ضوابط حاکم بر این روش‌ها و توجه به ماهیت داده‌های ژئوشیمیایی است. بدین ترتیب به منظور تحلیل رابطه بین میانبارهای مأگمایی و سنگ میزان از روش‌های آماری، که خروجی آنها نمایش ترسیمی، رابطه بین داده‌ها در قالب نمودارهای دومتغیره است، بهره می‌گیریم. بدین‌گهی است به این دلیل که هدف، تشخیص وجود تمايز دو مجموعه است، به همین علت از روش‌های آماری متمایز‌کننده بهره می‌گیریم.

شرط اولیه در محاسبه پارامترهای آماری، فرض نرمال بودن توزیع داده‌هاست. تعیین منحنی توزیع هر اکسید یا عنصر کمیاب در یک جامعه آماری، به وسعت نمونه‌های تجزیه شده با تقسیم‌بندی داده‌ها به دسته‌های مختلف و تعیین فراوانی مقادیر موجود در هر بازه و رسم نمودار مستطیلی (هیستوگرام) انجام می‌شود، که معمولاً داده‌های ژئوشیمیایی الگوی توزیع نرمال نشان می‌دهند. در حالت کلی، برای تعیین رابطه بین دومتغیر، می‌توان از روش‌های همبستگی و رگرسیون بهره برد. این روش‌ها به منظور جستجوی رابطه بین متغیرهایی است که به صورت تصادفی انتخاب شده‌اند یعنی اول: از قبل از وجود رابطه بین متغیرها آگاهی نداشته و دوم: متغیرها برهم اثر نمی‌گذارند و مستقل باشند.

۱-۴. روش‌های آماری متمایز کننده

- روش‌های آماری دومتغیره

(الف) رگرسیون دومتغیره: به منظور پیش‌بینی رابطه بین دو متغیر تصادفی که یکی از آنها متغیر مستقل و دیگری وایسته است، از روش رگرسیون استفاده می‌شود. در روش رگرسیون دومتغیره، امکان برآزش یک خط یا منحنی به داده‌ها، بررسی می‌شود. خط یا منحنی که بیشترین تطابق را با نقاط موجود در نمودار دومتغیره دارند و نماینده بهترین خطی است که می‌توان از بین نقاط عبور داد. در این روش اگر برآزش خط یا منحنی به نقاط، بر اساس روش کمترین مربعات انحراف نقاط از خط یا منحنی (Least square) استوار باشد، عامل²R می‌توان به طور غیر مستقیم به عنوان معیاری از همبستگی بین نقاط به شمار آورد. با توجه به اینکه عناصر اصلی موجود در یک نمونه، متغیرهای وایسته هستند (در گزارش نتایج تجزیه‌های ژئوشیمیایی عناصر اصلی بر حسب درصد بیان می‌شوند، پس مقادیر هر یک از آنها بر دیگری تأثیر می‌گذارد)، تحلیل الگوی پراکنده‌گی‌ها برآسas خط رگرسیون و R² برای عناصر اصلی میانبار و سنگ میزان هر کدام به صورت مجزاء به منظور جستجوی رابطه بین عناصر اصلی آنها نمی‌تواند به یک نتیجه واقعی از همانگی یا عدم همانگی

میانبار و سنگ میزان، و پراکنده‌گی‌های مشاهده شده را می‌توان به آالایش مأگمایی یا دگرسانی‌ها و در کل تحرک بالای این عناصر نسبت داد (Zorpi et al., 1991). افرون بر این، فرایند فلدسپارازایی و بیوتیت‌زایی در اثر متاسوماتیسم پتاویسیک نیز عاملی برای تغییر مقادیر K₂O و Na₂O در این میانبارهای است. همان گونه که پیش از این بیان شد، تشکیل بیوتیت‌های ثانویه به ویژه در ناحیه مرزی میانبار و سنگ میزان از جمله شواهد این فرایند است. به همین ترتیب همبستگی ضعیف Rb با SiO₂ و Sr با TiO₂ (Kumar & Rino, 2006) در میانبار و سنگ میزان نسبت به هم تغییرات زیادی نشان نمی‌دهد، زیرا غالب کانی‌های تیتانیم‌دار در این نمونه‌ها ثانویه بوده و محصول دگرسانی بیوتیت و آمفیبول و آزاد شدن Ti هستند.

از دیگر فرایندهای مهم که در مقیاس کوچک و در ناحیه مرزی میانبار و میزان روندها و مقادیر را تحت تأثیر قرار داده، تعادل و همگن شدگی اولترامیکروسکوبی است. از شواهد این فرایند می‌توان به وجود همبستگی بالای بین مقادیر Ba و SiO₂ در سنگ‌های میزان و روند نامشخص تغییرات Ba در میانبارها اشاره کرد. از آنجا که شب نزولی تغییرات Ba در سنگ‌های میزان با توجه به سازگاری Ba با K در ساختار فلدسپارهای قلایی پتاویسیک و بیوتیت غیرعادی است، می‌توان آن را به برقراری تعادل شیمیایی با میانبار در حالت مذاب یا نیمه مذاب و در نتیجه به حجم‌های متفاوت مبادله شده از این عنصر بین میانبارها و میزان‌ها مربوط دانست. افزونبر این، بررسی نمودار عنکبوتی بهنجار شده میانبار و سنگ میزان (شکل ۵)، بیانگر شباوهای کلی بین آنها و افت مقادیر عناصر Ta, Sr و Ti و Nb می‌شود. بازگاری عناصر بزرگ یون (LILEs) شامل Rb, K, Th, Ce, La, Yb, Zr, Nd, Ce و Nd مقادیر پایین تری نشان می‌دهند. بنابراین، همگن شدگی وسیع ترکیبی در مقیاس برخی از عناصر متخرک تر (LILEs) بین سنگ میزان و میانبارها، شاهدی از تبادل در حالت مذاب یا نیمه مذاب است. غنی شدگی عناصر LILEs در میانبارهای مأگمایی مذکور، شبیه به سنگ میزان و شباوهای مشاهده شده بین عناصر فرعی بین آنها از یک سو تأیید کننده تبدلات انجام شده است و از سوی دیگر، نشان دهنده آهنگ و سرعت بالای رسیدن به تعادل در مقایسه با HFSEs است.

دیگر روندهای مشاهده شده از عناصر را نیز می‌توان در قالب مجموعه‌های کانی‌شناسی آنها توجیه کرد. Al₂O₃ به عنوان اکسیدی ناسازگار و کم تحرک، الگوی تغییرات یکسان و مقادیر مشابه بین میانبار و سنگ میزان نمی‌دهد و صرفاً در مورد میانبارها، روندی با شبیث مثبت و همبستگی مناسبی با SiO₂ دارد. همبستگی ظاهری نسبتاً مناسب و روند صعودی درجه اشباع از آلومینیم در میانبارها در برابر افزایش SiO₂ و افزایش نسبت حجمی پلازیوکلاز، با این وضعیت هماهنگ است.

همبستگی منعنی مقادیر وانادیم با SiO₂ در سنگ میزان را می‌توان به جدایش کانی‌های آهن منزیم دار و کاهش نسبت حجمی آنها در نمونه‌های تفریق یافته‌تر و روند نزولی تغییرات وانادیم همراه با افزایش Nb در برابر SiO₂ در میانبارها، بیانگر روند عمومی تفرقی مأگمایی است (Arvin et al., 2004). عناصر Y, Nb تطابق ضعیف و روندی پراکنده با افزایش میزان SiO₂ نشان می‌دهند، این روند نامنظم وابسته به حضور مقادیر متغیرهای از کانی آپاتیت بوده و در نتیجه مانند P₂O₅ در میانبارها، نظم خاصی در تغییرات آنها دیده نمی‌شود.

Zr, Th در ترکیب کانی‌هایی مانند آلاتیت و منازیت و زیرکن حاضر هستند و مقدار آنها تابعی از فراوانی این فازها در نمونه‌های است و با توجه به حضور پراکنده این کانی‌ها در نمونه‌های سنگ میزان و همبستگی پایین تغییرات Zr و Th، روند نامشخص تغییرات آنها در برایش SiO₂ وابسته به تفرقی مأگمایی نیست. تطابق بالا و روند صعودی تغییرات آنها در برایش SiO₂ در میانبارها با افزایش Zr، Th را می‌توان به حضور میانبارهای زیرکن (و احتمالاً منازیت) در بیوتیت‌ها و فلدسپارهای قلایی این نمونه‌ها نسبت داد.

(ب) تجزیه مؤلفه‌های اصلی: نمایش رابطه بین متغیرها و نمونه‌ها در یک نمودار دومتغیره از طریق بردارهایی که جهت‌گیری آنها نسبت به هم ملاک ارزیابی و تحلیل هاست (Gabriel, 1971; Buccianti & Peccerillo, 1999). آرایش موازی و هم جهت این بردارها بیانگر همبستگی بالای بین متغیرهایی است که تغییرات آنها به وسیله بردارها نمایش داده شده و قاعدتاً آرایش موازی و جهت مخالف آنها بیانگر همبستگی ناچیز است. متعامد بودن این بردارها نشانه عدم تأثیرگذاری این دو متغیر یا پارامتر بر یکدیگر است (Buccianti & Peccerillo, 1999).

شکل ۹ دیده می‌شود آرایش بردارها بیانگر تمایز مشخص در ترکیب عناصر اصلی بین میانبارها و میزان بوده و اکسیدهایی مانند Na_2O , K_2O , SiO_2 و TiO_2 , FeO , MnO , CaO و MgO دارند و همچنین نمونه‌های سنگ میزان (دایره‌های توخالی) و میانبار (نمونه‌های توپر) در دو سمت متفاوت از بردارها قرار گرفته‌اند، در حالی که میانبارهای فلزیک و سنگ‌های میزان در کنار هم دیده می‌شوند.

بنابراین بر مبنای روش‌های آماری دومتغیره و چندمتغیره، اختلاف ترکیب شیمیایی میانبارهای ماگمایی مافیک و سنگ میزان و منشأ متفاوت آنها مشخص شده و افزون بر این، شباهت بین انکلادوها فلزیک و سنگ میزان و احتمالاً هم منشأ بودن آنها را تأیید می‌کند.

۵- نتیجه‌گیری

- مقادیر بالاتر اکسیدهای $\text{FeO}_{(0)}$, MnO , CaO , MgO در میانبارهای مافیک نسبت به سنگ میزان و مقادیر بالاتر SiO_2 در سنگ میزان، همسان بودن تقریبی مقادیر اکسیدهای Na_2O و K_2O و اغلب عناصر کمیاب بین سنگ میزان و میانبارهای ماگمایی، روندهای خطی مشاهده شده در الگوی تغییرات اکسیدهای میانبارهای ماگمایی، روشهای خطي مشاهده شده در الگوی تغییرات اکسیدهای میانبار با افزایش SiO_2 و شباهت الگوی نمودار عنکبوتی آنها، نشانه‌ای برای منشأ مافیک میانبارهای ماگمایی مذکور است.

- روش‌های آماری دو و چندمتغیره بر اساس شیمی میانبارها در مقایسه با سنگ میزان دو دسته متفاوت بین آنها مشخص کرده‌اند که بیانگر ماهیت متفاوت آنهاست. یکی از این دو دسته، خویشاوندی مشخصی با سنگ میزان نشان دهد (میانبارهای فلزیک) و دسته دیگر وضعیت متفاوتی دارد (میانبارهای مافیک). قرار گیری نمونه‌ها در دو گروه متغیره و مجزا در الگوی شاخه درختی و جهت‌گیری بردار دومتغیره و نمونه‌ها در نمودار دومتغیره تحلیل مؤلفه‌های اصلی (PAC) از جمله این موارد است. پراکندگی مشخص بیشتر اکسیدهای عناصر اصلی و اغلب عناصر کمیاب، در نمودار دومتغیره میانبارهای مافیک در برابر سنگ میزان، نسبت به خط رگرسیون و ضریب R^2 پایین در رگرسیون دومتغیره همراه با ضریب همبستگی ناچیز آنها، تأیید کننده روندهای ژئوشیمیایی متفاوت مشاهده شده برای عناصر مختلف در میانبار و سنگ میزان در نمودارهای دومتغیره ژئوشیمیایی است.

- بنابراین، از مقایسه شیمی میانبارها و سنگ میزان با روش‌های آماری و تحلیل نمودارهای ژئوشیمیایی می‌توان به این نتیجه رسید که: ۱) این میانبارها به دو نوع فلزیک و مافیک قابل تقسیم هستند. ۲) با توجه به شباهت‌های کانی شناختی و بافتی و ژئوشیمیایی میانبارهای فلزیک به سنگ میزان تشکیل آنها، به گسیختگی در حاشیه سریع متبلورشده توده گرانیتی در اثر فشار ناشی از تزریق‌های متواالی مذاب، نسبت داده شده است و در واقع باور بر این است که این میانبارها به حالت جامد (بیگانه سنگ ماگمایی) در مذابی از جنس خود جای گرفته‌اند. ۳) با توجه به تفاوت مشخص ویژگی‌های ظاهری، ماهیت شیمیایی و وضعیت کانی شناختی محتمل‌ترین منشأ برای میانبارهای مافیک آمیختگی دو ماگمای فلزیک و مافیک است.

ژئوشیمیایی منجر شود. اما هنگامی که اکسیدهای یکسانی از دو نمونه مجزا (میانبار و سنگ میزان) در برابر هم در یک نمودار دومتغیره رسم شوند، همبستگی محاسبه شده بر مبنای خط رگرسیون و R^2 را می‌توان به عنوان خویشاوندی ژئوشیمیایی یا عدم خویشاوندی ژئوشیمیایی تفسیر کرد (شکل ۶).

(ب) بهره‌گیری از ضرایب همبستگی: ضریب همبستگی دومتغیره، معیاری از همبستگی متغیرها بدون وابستگی به واحد اندازه گیری داده‌است. ضریب همبستگی رابطه بین دو متغیری را نشان می‌دهد که هر دو تحت تأثیر عوامل مشترکی قرار گرفته‌اند و روند تغییرات آنها هم جهت با هم با در دو جهت متفاوت است (حسنی پاک و شرف‌الدین، ۱۳۸۰). این عامل معیاری است از درجه تمايل دومتغیر به رابطه خطی با یکدیگر، که ما در اینجا به منظور نمایش میزان همبستگی عناصر مختلف در ترکیب میانبار و میزان آنها از نمودار دومتغیره‌ای با محور طولی مشکل از اکسیدهای اصلی و عناصر کمیاب در برابر ضریب همبستگی محاسبه شده برای هر یک از این عناصر در میانبار و سنگ میزان استفاده کرده‌ایم.

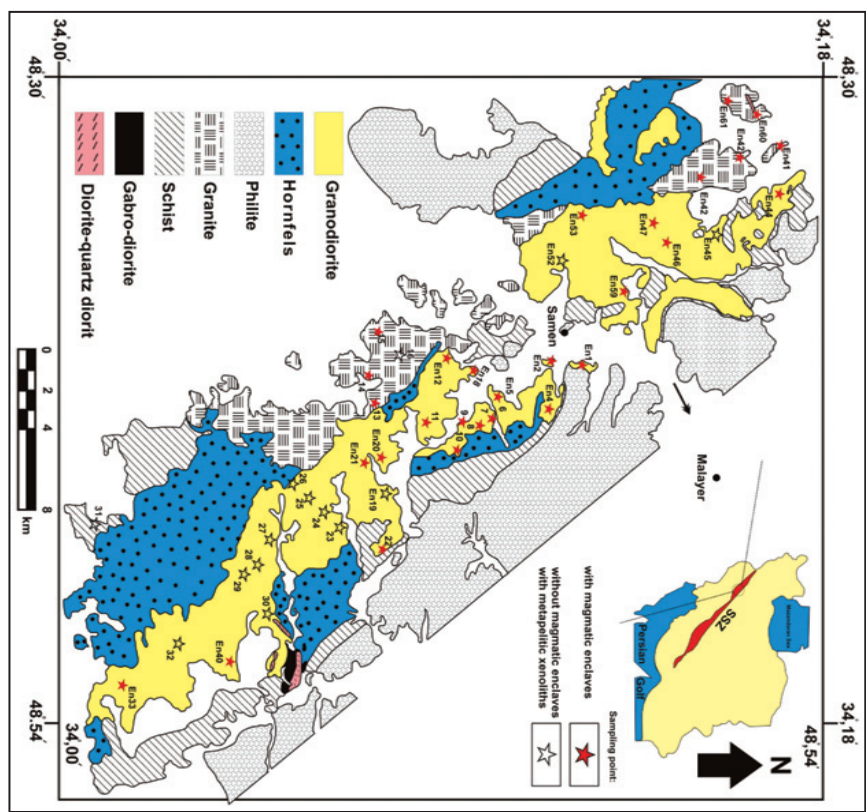
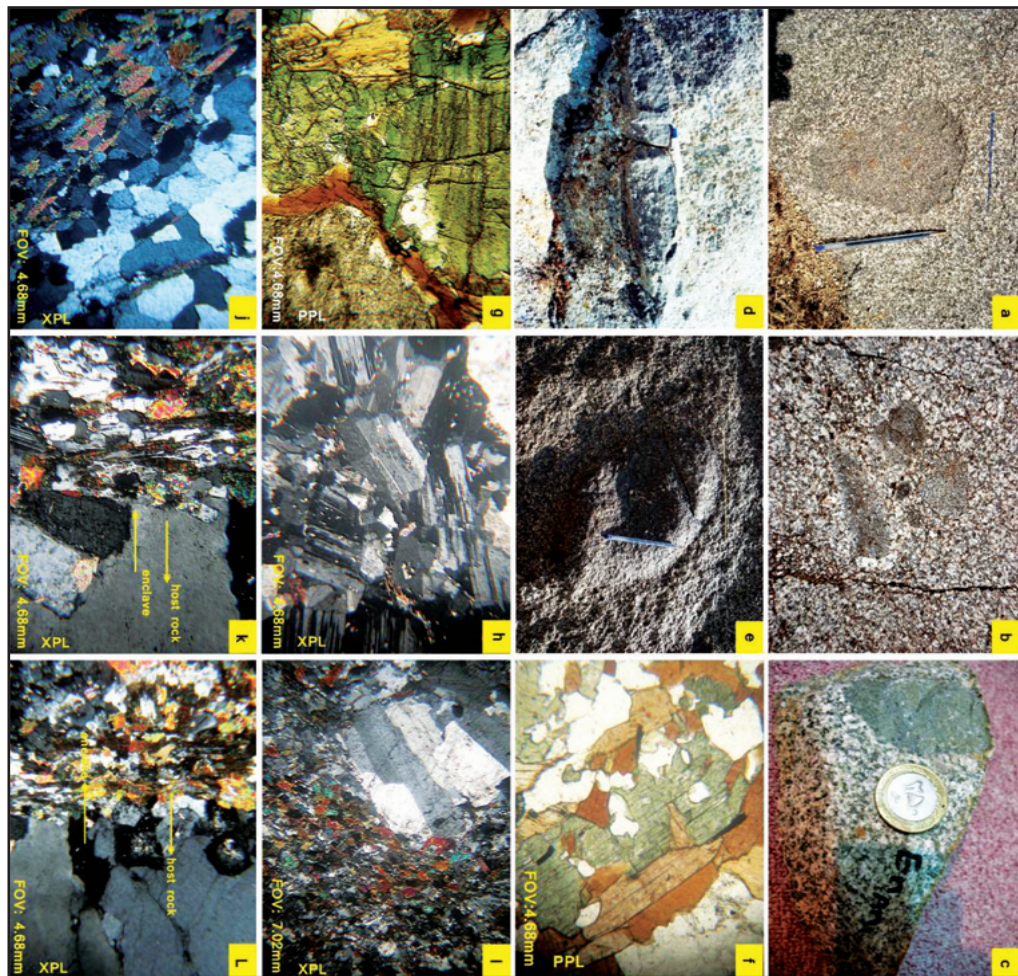
مقایسه روندهای مشاهده شده برای تغییرات ضریب همبستگی اکسیدهای اصلی و کمیاب سنگ میزان در برابر میانبار در هر دو حالت ذکر شده، بیانگر اختلاف مشخص در یک سری عناصر و هماهنگی در پاره‌ای دیگر از آنهاست (شکل ۷).

- روش‌های آماری چندمتغیره: همان گونه که مشخص است این روش‌ها به بررسی همزمان تغییرات چندمتغیره پرداخته و نتایج حاصل از آن اغلب نسبت به تحلیل‌های آماری، بر اساس روش‌های دومتغیره مناسب تر هستند. از جمله روش‌های آماری چندمتغیره تحلیل خوش‌های و تحلیل مؤلفه‌های اصلی هستند که می‌توان به وسیله آنها روابط بین نمونه‌ها و یا روابط بین متغیرها را بررسی کرد. اساس تحلیل هر دو روش بر ماتریس ضرایب همبستگی متغیرها و نمونه‌ها، استوار است.

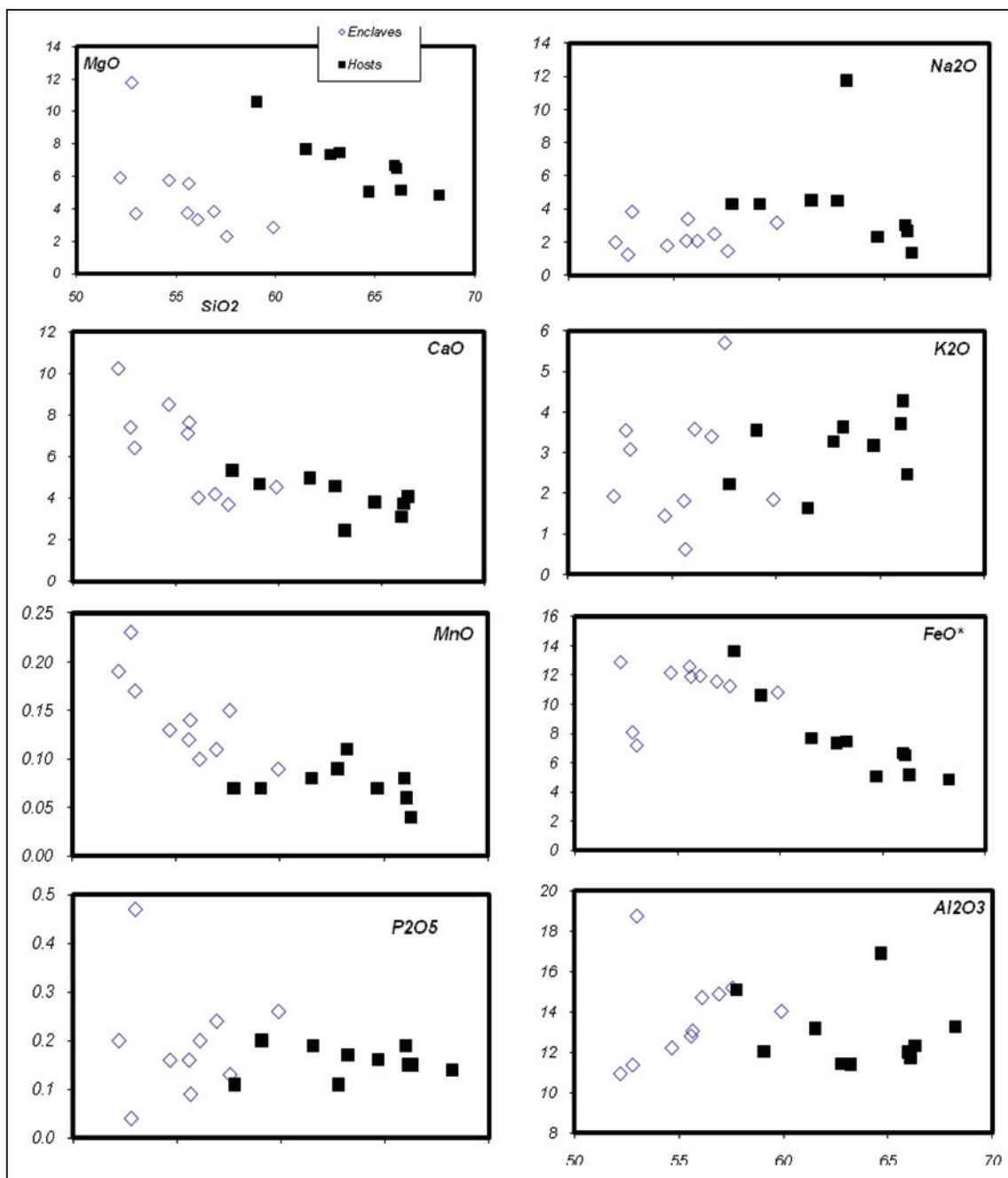
(الف) تحلیل خوش‌های: در تحلیل خوش‌های، هدف، دستیابی به ملاکی برای رده‌بندی هرچه مناسب تر متغیرها و یا نمونه‌ها بر اساس تشابه درون گروهی و اختلاف هر چه بیشتر بین گروهی است و نتیجه آن تقسیم‌بندی متغیرها به گروه‌هایی است که بیشترین تشابه را درون خود و بیشترین اختلاف را بین یکدیگر دارند. برای رسم نمودار درختی برای متغیرهای شیمیایی نمونه‌های میانبار و میزان، با بهره‌گیری از ماتریس شباهت بین متغیرها، از ضرایب فاصله (یا ضرایب اختلاف) به عنوان معیاری از شباهت و هماهنگی بین آنها استفاده شده است. بدیهی است کمترین فاصله، بیانگر بیشترین شباهت دومتغیر در میانبار و میزان است.

نتایج به دست آمده از تحلیل خوش‌های، اهمیت بسیاری دارد، چرا که برای اثبات وجود تمايز اغلب میانبار با میزان در مراحل قبلی، باید، در این مرحله نمونه‌ها به دو سری نمونه با قربت اندک و تمايز اساسی تقسیم شوند، و در گروه‌هایی مجزا قرار گیرند (شکل ۸).

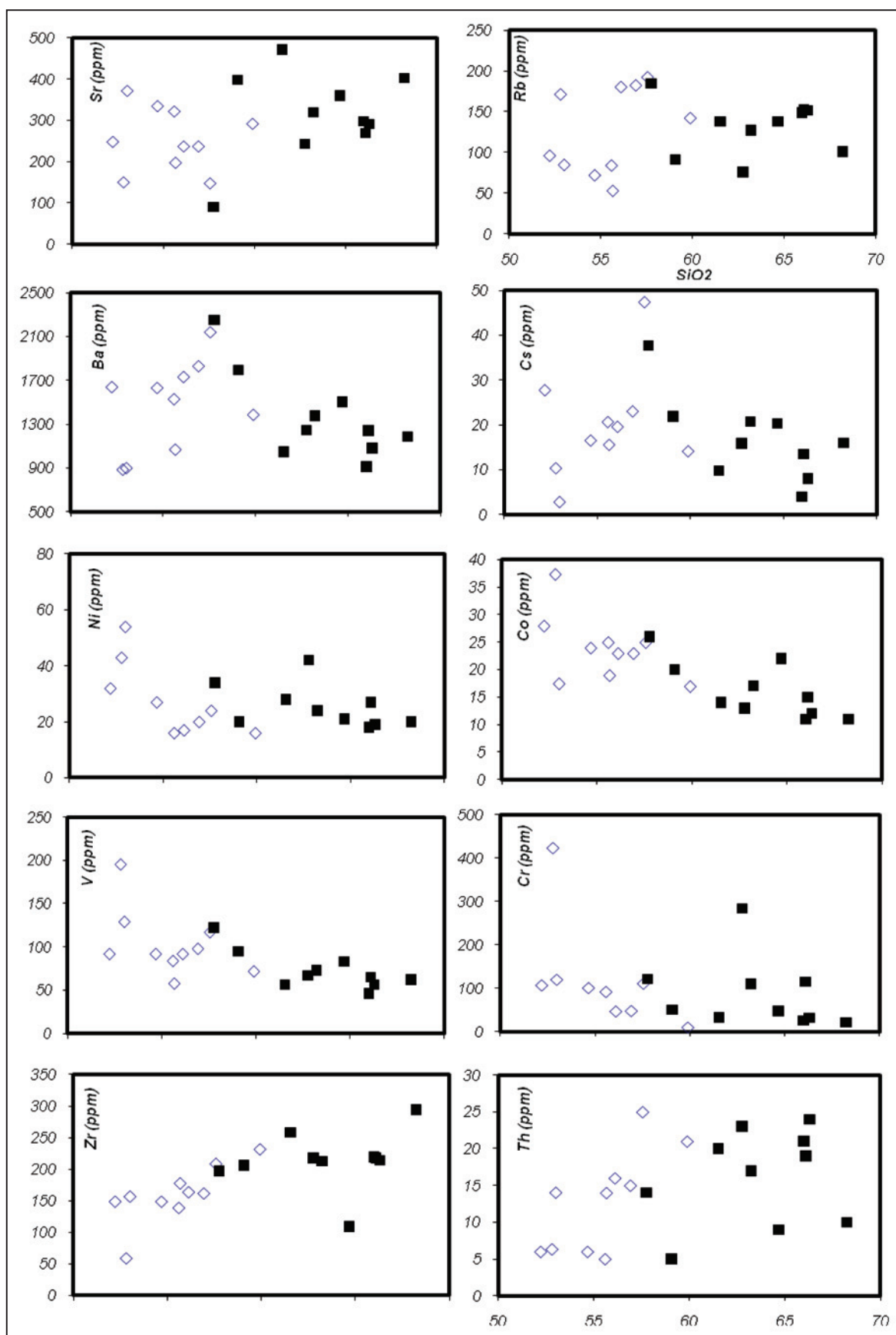
همان گونه که در الگوی درختی به دست آمده بر اساس خویشاوندی‌های ژئوشیمیایی میانبارها و میزان آنها مشاهده می‌شود، نمونه‌ها به دو گروه کاملاً مجزا تقسیم شده‌اند که شامل سنگ‌های میزان در یک نیمه و میانبارهای مافیک در نیمه دیگر است. در واقع، این حالت تأییدی است بر رونهای ژئوشیمیایی مشاهده شده از عناصر مختلف، هنگامی که میزان و میانبار در یک نمودار دومتغیره ژئوشیمیایی در کار هم بررسی می‌شوند و مسیرهای ژئوشیمیایی از هم گیسخته‌ای را نشان می‌دهند. به همین دلیل می‌توان نتیجه گرفت که هر کدام از گروه‌های میانبارهای مافیک و سنگ‌های گرانیتی میزان، بیشترین شباهت ژئوشیمیایی را بین خود و بیشترین تمايز را بیکدیگر دارند. نکته قابل تأمل و مهم قرار گیری میانبارهای فلزیک (یا میکروگرانیت‌بودی) در گروه سنگ‌های میزان است که بیانگر خویشاوندی و هم جنس بودن آنها با میزان‌های گرانیتی است و این امر با منشأ در نظر گرفته شده برای آنها، به عنوان محصول گسیختگی در فازهای اولیه تزریق ماگمایی توده گرانیتی (به عنوان مثال: Donaire et al., 2005) به خوبی هماهنگی دارد.



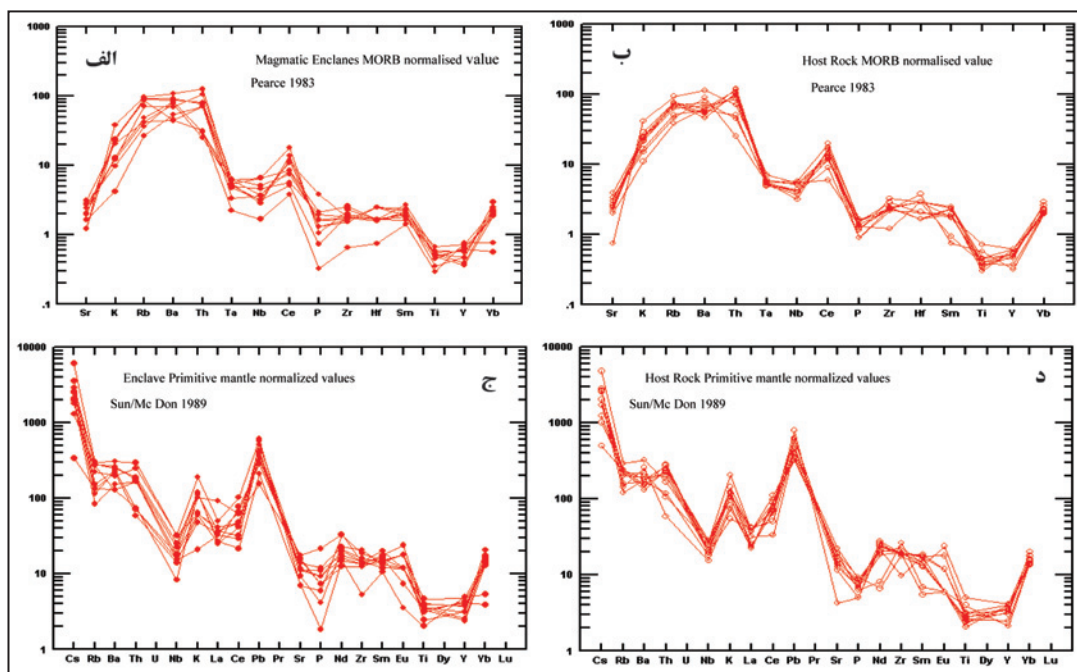
شکل - پر اکدگی سینگک های آذن و دگرگونی مخففه موردن مطالعه به همراه نمایش محل نموده برداری ها (اقتباس از تنشیه ۱۰۰۰۰۰: ۱۳۷۰، تئوچه شده در سارامان زمین شناسی و کشاورزی) با اندک تغییر



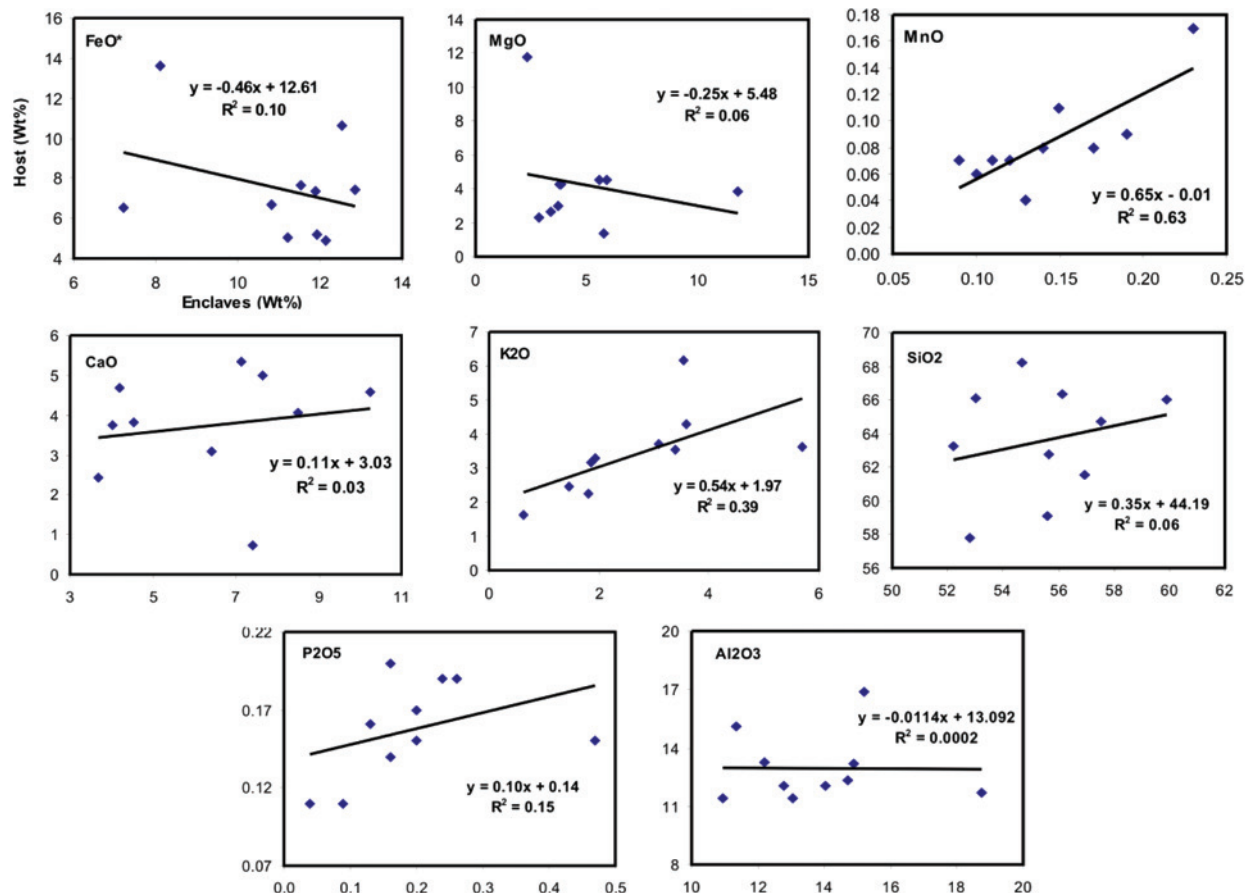
شکل ۳ - نمودارهای دو متغیره تغییرات مقادیر عناصر اصلی در برابر افزایش SiO_2 در میانبارها و میزان همان گونه که در روند تغییرات همه اکسیدها دیده می‌شد (مربع توپر: سنگ میزان؛ مربع توانی: میانبار مافیک).



شکل ۴- نمودارهای نشان دهنده تغییرات عناصر کمیاب در برابر افزایش SiO_2 در میانهای و میزان (نمادها مانند شکل ۳)

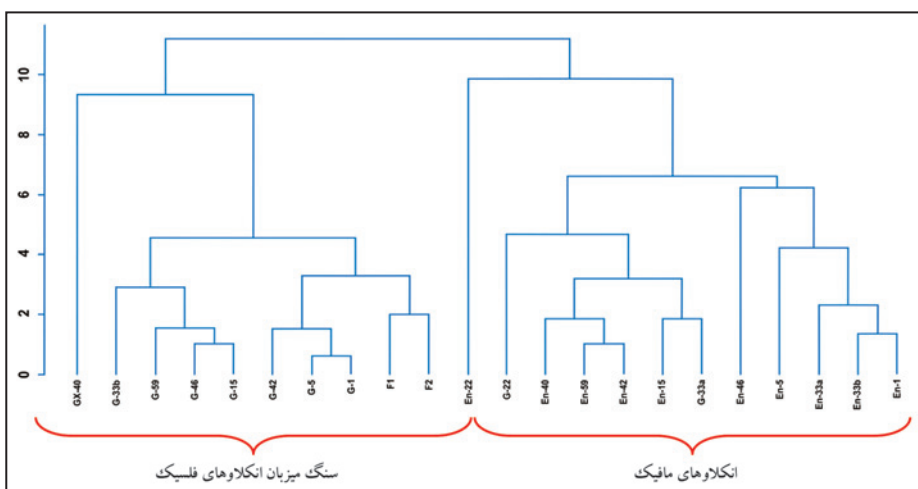
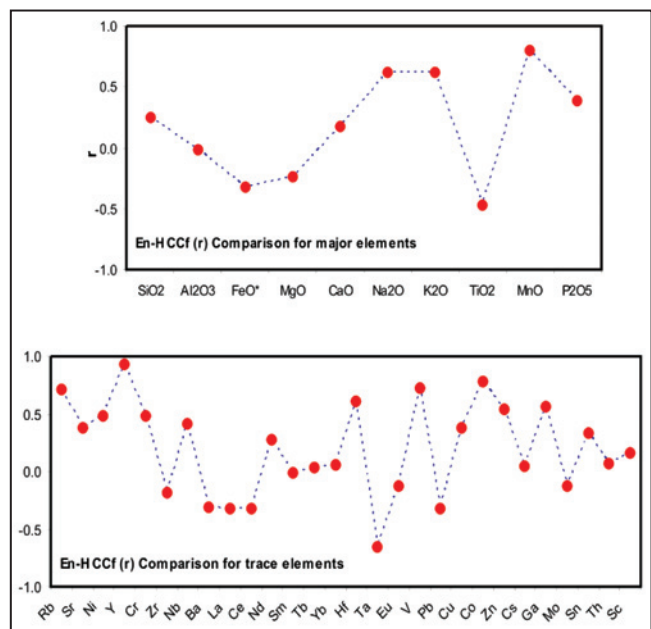


شکل ۵- شباهت زیاد بین الگوی تغییرات عناصر اصلی و فرعی به تبادلات واکنش‌های متقابل بین میانبارها (نمودارهای الف و ج) سنگ میزان (نمودارهای ب و د) در حالت مذاب یا نیمه مذاب مربوط است. شکل‌های الف و ب نمودار عنکبوتی بهنجارشده بر اساس مقادیر بازالت‌های پشتہ میان اقیانوسی (Pearce, 1983)، شکل‌های ج و د نمودار عنکبوتی بهنجارشده بر اساس مقادیر گوشته اولیه (Debon, 1991 ; Coloun et al., 1984 ; Vernon, 1983 ... Barbarin, 2005 ; Yilmaz, 2005) به عنوان مثال: (Sun & Mc Don, 1989)



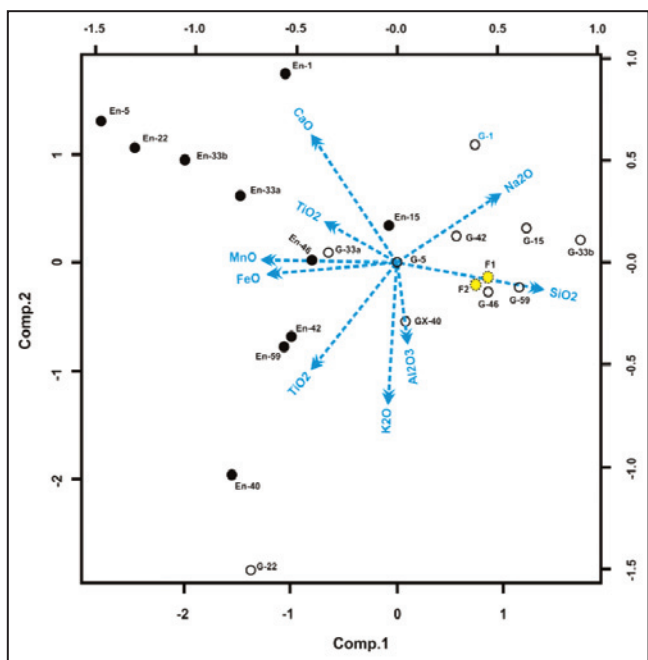
شکل ۶- محاسبه ضریب تعیین (R^2) و خط رگرسیون برخی از اکسیدهای عناصر اصلی بین میانبار و میزان. همان‌گونه که در نمودارها قابل مشاهده است، تقریباً همه اکسیدها پراکندگی مشخصی نسبت به خط رگرسیون نشان می‌دهند (و ضریب R^2 پایینی دارند) که بیانگر تمایز مشخص در محتوای بیشتر اکسیدهای مذکور بین میانبار و سنگ میزان است.

شکل ۷- نمایش ترسیمی تغییرات ضرایب همبستگی محاسبه شده برای هر چفت از اکسیدهای عناصر اصلی و عناصر کمیاب بین میانوار و سنگ میزان



شکل ۸- الگوی شاخه درختی به دست آمده از تحلیل خوشای که نمونه‌های میانوار و سنگ میزان را بر اساس ضرایب همبستگی بین متغیرهای مختلف به دو دسته کلی و زیر شاخه‌های جدا از هم تقسیم کرده است (مد Q). در رسم این الگو اکسیدهای عناصر اصلی با بیشترین درصد، بالاترین (در رأس آنها) SiO_2 درجه تأثیرگذاری را دارند و گروه‌بندی اصلی بر اساس آنها انجام شده است.

شکل ۹- آرایش بردارها در نمایش ترسیمی تحلیل مؤلفه‌های اصلی. همان گونه که در این نمودار دیده می‌شود آرایش بردارها بیانگر تمایز مشخص در ترکیب عناصر اصلی بین میانوارها و سنگ میزان بوده و اکسیدهایی مانند K_2O , Na_2O , SiO_2 , MnO , CaO , FeO , MnO , CaO , TiO_2 دارند و همچنین نمونه‌های سنگ میزان (دایره‌های توخالی) و میانوار (نمونه‌های توپر) در دو سمت متفاوت از بردارها قرار گرفته‌اند، در حالی که میانوارهای فلزیک (دایره‌های توپر زرد رنگ) و سنگ‌های میزان در کنار هم دیده می‌شوند.



جدول ۱- نتیجه تجزیه شیمیایی میانبارها و سنگ میزان

	میانبارهای مافیک										سنگ میزان			
	EN- 46	EN-40	EN-59	EN-15	EN-5	EN-42	EN33-b	EN33a	EN-22	En-1	G- 46	G-59	G-42	G-15
SiO ₂	53.00	57.56	56.11	59.90	52.21	56.92	54.67	55.59	52.80	55.66	66.1	66.3	61.5	66.0
Al ₂ O ₃	18.75	15.18	14.70	14.02	10.92	14.88	12.20	12.79	11.35	13.04	11.7	12.3	13.2	12.0
FeO*	7.22	11.23	11.92	10.81	12.86	11.54	12.14	12.55	8.11	11.88	6.5	5.2	7.7	6.7
MgO	3.73	2.32	3.36	2.87	5.94	3.86	5.78	3.77	11.80	5.58	3.0	2.7	4.3	2.3
CaO	6.42	3.69	4.02	4.53	10.24	4.19	8.51	7.12	7.41	7.64	3.1	3.8	4.7	3.8
Na ₂ O	3.85	1.49	2.09	3.19	2.01	2.51	1.81	2.10	1.27	3.41	2.5	2.6	3.0	3.0
K ₂ O	3.08	5.70	3.58	1.85	1.93	3.40	1.45	1.82	3.55	0.63	3.7	4.3	3.6	3.2
TiO ₂	0.73	1.01	0.84	0.67	0.79	0.88	0.79	0.73	0.44	0.53	1	1	1	0
MnO	0.17	0.15	0.10	0.09	0.19	0.11	0.13	0.12	0.23	0.14	0.1	0.1	0.1	0.1
P ₂ O ₅	0.47	0.13	0.20	0.26	0.20	0.24	0.16	0.16	0.04	0.09	0.2	0.2	0.2	0.2
Rb	118	192	180	142	96	182	72	84	171	53	153	152	138	149
Sr	406	147	237	292	248	237	335	322	150	197	269	291	471	298
Ni	19	24	17	16	32	20	27	16	263	43	27	19	28	18
Y	13.41	21.72	17.50	19.67	14.11	16.91	11.65	10.93	22.90	14.24	16.4	16.4	15.0	18.4
Cr	30	111	47	10	107	48	101	92	1060	423	115	32	33	26
Zr	218	209	164	232	149	162	149	139	59	178	218	214	258	219
Nb	17	23	18	23	13	16	11	10	5.90	11	15	15	20	18
Ba	899	2141	1732	1387	1640	1831	1632	1529	885	1068	1242	1082	1046	913
La	63.40	34.34	17.40	28.41	25.25	25.54	23.24	17.49	18.60	22.37	17.3	26.3	25.9	16.2
Ce	110.00	180.68	73.98	84.22	84.75	56.47	117.39	136.62	38.30	51.54	117.1	158.9	196.6	124.6
Nd	35	44	27	31	22	24	20	17	20.10	29	25	37	27	29
Sm	7.18	6.60	5.32	5.88	7.70	8.88	6.27	7.07	4.67	6.43	5.7	7.8	6.3	6.4
Tb	0.74	3.44	3.10	2.22	3.93	3.26	3.44	3.55	0.74	2.46	2.0	1.6	1.8	1.5
Yb	6.81	7.50	6.49	6.37	8.50	6.93	7.84	6.39	2.62	10.11	7.8	6.8	8.0	6.6
Hf	3.80	4	4	4	6	4	6	6	1.80	4	7	4	5	4
Ta	0.6	1.0	1.1	1.1	1.1	0.9	0.9	1.0	0.40	0.85	0.98	0.91	0.99	1.08
Eu	1.24	3	2	2	4	2	3	2	0.59	3	1.00	1.00	1.00	1.00
V	129	117	92	72	92	98	92	84	195	58	65	56	56	46
Pb	11	43	25	36	30	28	23	20	15	40	45	44	28	42
Cu	43	9	10	6	23	10	23	24	47	7	27	10	12	8
Co	18	25	23	17	28	23	24	25	37	19	15	12	14	11
Zn	63	107	78	71	84	76	77	80	93	73	72	63	69	65
Cs	2.67	47.50	19.54	14.05	27.76	23	16.47	20.62	10.25	15.51	13.5	8.0	9.7	3.9
Ga	5.99	21	22	23	22	22	21	21	14.40	26	23	24	23	24
Mo	2	3	4	3	4	4	4	4	2	3	3	3	3	3
Sn	1	6	6	6	6	6	6	6	2	6	6	6	6	6
Th	14.05	25	16	21	6	15	6	5	6.34	14	19	24	20	21
Sc	3	2	3	3	2	3	4	3	2	3	3	2	3	2

ادامه جدول ۱

	میانوارهای مافیک							سنگ میزبان	
	G-1	G-33b	G-22	GX-40	X-22	G-33a	G-5	F1	F2
SiO ₂	62.76	68.23	57.76	64.68	60.39	59.07	63.22	64.2	62.3
Al ₂ O ₃	11.42	13.26	15.09	16.90	12.14	12.05	11.41	15.7	16.7
FeO*	7.34	4.86	13.61	5.06	10.57	10.61	7.46	6.0	6.2
MgO	4.51	1.35	3.82	11.75	3.83	4.31	4.49	1.8	2.4
CaO	4.98	4.07	0.72	2.44	5.82	5.34	4.58	3.6	3.4
Na ₂ O	4.04	3.18	0.95	2.30	3.1	2.12	2.03	3.3	3.3
K ₂ O	1.64	2.46	6.18	3.64	2.4	2.23	3.28	2.2	2.7
TiO ₂	0.61	0.57	1.08	0.69	0.68	0.86	0.67	0.7	0.6
MnO	0.08	0.04	0.17	0.11	0.12	0.07	0.09	0.1	0.1
P ₂ O ₅	0.11	0.14	0.11	0.16	0.15	0.20	0.17	0.3	0.1
Rb	76	101	185	138	136	91	127	162.5	142.5
Sr	243	402	90	360	357	398	319	260.0	294.0
Ni	42	20	34	21	22	20	24	22.0	19.0
Y	14	11	19	18	18	9.62	15.63	27.2	17.1
Cr	284	22	121	48	63	51	110	100.0	100.0
Zr	218	294	197	109	130	206	213	235.0	145.5
Nb	14	13	19	19	17	11	14	19.0	12.0
Ba	1246	1184	2249	1502	1393	1793	1376	353.0	250.0
La	28.62	15.51	26.18	21.96	19.67	15.28	27.95	37.3	37.7
Ce	89.88	157.50	130.32	59.37	64.20	172.04	121.97	74.7	71.3
Nd	33	11	35	29	36	9	32	27.2	27.1
Sm	7.56	3.08	5.84	7.75	5	2.45	8.16	5.4	4.7
Tb	1.77	1.52	3.93	3.93	4	2.71	3.93	0.8	0.6
Yb	9.87	7.02	8.79	7.03	7	6.91	7.44	3.1	1.6
Hf	4.00	7.00	5.00	7.00	7	9	7	7.0	5.0
Ta	0.95	0.89	1.26	1.01	1	0.96	0.91	1.7	0.9
Eu	2	1	4	3	2	1	2	1.1	0.8
V	67	62	122	83	77	95	73	64.0	130.0
Pb	34	25	56	32	30	23	34	—	—
Cu	7	32	17	31	27	42	32	—	—
Co	13	11	26	22	20	20	17	14.2	14.2
Zn	70	75	98	77	75	79	75	56.0	53.0
Cs	16	16	38	20	18	21.91	20.70	9.5	7.0
Ga	24	25	21	22	22	22.00	22.00	24.0	20.0
Mo	3	3	3	4	4	3	3	—	—
Sn	6	6	6	6	6	6	6	2.0	2.0
Th	23	10	14	9	11	5	17	17.0	18.0
Sc	3	4	3	3	3	2	3	—	—

کتابنگاری

- افتخارنژاد، ج.، ۱۳۶۰- تقسیم بندی تکتونیکی ایران با توجه به حوضه های رسوی. مجله انجمان نفت ایران، شماره ۸۲، ۲۸-۱۹.
- حسنی پاک، ع.ا.، شریف الدین، م.، ۱۳۸۰- تحلیل داده های اکتشافی. انتشارات دانشگاه تهران.
- فرقانی، ع.، ۱۳۴۸- مطالعه کانی شناسی و سنگ شناسی گرانودیوریت سامن (ملایر)، نشریه شماره ۱۵ دانشکده فنی، دوره دوم.
- گودرزی، ح.ا.، ۱۳۷۶- ماقماییسم و متامورفیسم منطقه ملایر- بروجرد، پایان نامه کارشناسی ارشد، دانشکده علوم، دانشگاه تربیت معلم. دیو سالار، ر.، ولی زاده، م.، ۱۳۸۹- منشأ انکلاوها و زینولیت های متاپلیتی مجتمعه پلوتونیک ملایر، فصلنامه علوم زمین، سال نوزدهم، شماره ۷۶، ص ۹-۱۷.
- دیو سالار، ر.، ولی زاده م.و.، احمدزاده و.، اسماعیلی د.، ۱۳۸۸- مطالعه ا انکلاوها ماقمایی مجتمعه پلوتونیک ملایر، مجله علوم دانشگاه تهران، ۳۵، ۲، ص ۷۱-۸۵.
- صادقیان، م.، ۱۳۸۳- پترولوزی سنگ های نفوذی و دگرگونی منطقه چشمی قصابان همدان. رساله دکتری، دانشگاه تهران.
- قلمقوش، ح.، محمدیه، ک.، رشید، ح.، قهرابی پور، م.، ۱۳۸۴- امتزاج و اختلاط ماقمایی مافیک و فلزیک در باطنیت الوند، شاهدی بر همزیستی ماقمایی. چکیده بیست و سومین همایش علوم زمین، سازمان زمین شناسی و اکتشافات معدنی ایران.
- مدنی ابوری، ح.، ۱۳۵۹- پتروگرافی و پترولوزی توده آذرین گرانودیوریتی منطقه سامن و سنگ های همبر آن. پایان نامه کارشناسی ارشد پترولوزی دانشگاه تهران.
- هاشمی، س.م.، ۱۳۸۵- مطالعه فرآیندهای تحول ماقمایی مجتمعه پلوتونیک الوند. پایان نامه کارشناسی ارشد، دانشگاه بولنی سینا، همدان.

References

- Arvin, M., Dargahi, S., Babaei, A. A., 2004- Petrogenesis and origin of the chenar granitoid stock , NW of Kerman, IRAN: Evidence of neotectonic subduction related arc magmatism.journal of Asian Earth Sciences 24: 105-113.
- Barbarin, B.,2005 - Mafic magmatic enclaves and mafic rocks associated with some granitoids of the central Sierra Nevada batholith, California: nature, origin, and relations with the hosts., Lithos 80 155:- 177.
- Blake, S., Fink, J. H., 2000- On the deformation and freezing of enclaves during magma mixing. Journal of Volcanology and Geothermal Research 95:1-8.
- Buccianti, A., Peccerillo, A., 1999- The complex nature of potassic and ultrapotassic magmatism in Central-Southern Italy: a multivariate analysis of major element data. In: Lippard S J, Naess A, Sinding-Larsen R (eds) Proceedings of the 5th Annual Conference of the International Association for Mathematical Geology. Tapir, Trondheim, p. 145-150
- Coulon, C., Clocchiatti, R., Maury, R. C., Westercamp, D., 1984- Petrology of basaltic xenoliths in andesite to dasite host lava from Martinique, evidence for magma mixing.Bull. Volcano, 47, 705-734.
- Debon, F., 1991- Comparative major element chemistry in various “microgranular enclave–plutonic host” pairs. In: Didier, J., Barbarin B. (Eds.), Enclaves and Granite Petrology, Developments in Petrology, vol. 13. Elsevier, Amsterdam, pp. 293–312.
- Donaire, T ., Pascual. E ., Pin, C ., Duthou, J. L., 2005- Microgranular enclaves as evidence of rapid cooling in granitoid rocks: the case of the Los Pedroches granodiorite, Iberian Massif, Spain,. Contrib Mineral Petrol.149: 247–265.
- Gabriel, K. R., 1971- The biplot graphical display of matrices with application to principal component analysis. Biometrika 58: 453-467.
- Ghahamghash, J., Mirnejad, H., Rashid, H.,2009- Magma mixing and mingling pattern along Neo-Tethys continental margin, Sanandaj-Sirjan zone, NW Iran: a case study from Alvand pluton, Neues Jahrbuch Fur Minealogie. Accepted paper for 2009.
- Kumar, S., Rino, V., 2006- Mineralogy and geochemistry of microgranular enclaves in Palaeoproterozoic Malanjkhand granitoids, central India: evidence of magma mixing, mingling, and chemical equilibration. Contrib.Mineral.Petrol (2006) 152:591–609.
- Pearce, J. A., 1983- Role of sub-continental lithosphere in magma genesis at active continental margins. Continental Basalts and Mantle Xenoliths. Shiva, Nantwich, p. 230-249
- Sepahi, A. A., 2007- Syn-plutonic dykes and magma mingling: An example from the Alvand plutonic complex, Sanandaj-Sirjan metamorphic belt, Iran. – Geochim. Cosmochim. Acta. (Goldschmidt Conference) 71: A916.
- Sepahi, A. A., 2008- Typology and petrogenesis of granitic rocks in the Sanandaj-Sirjan metamorphic belt, Iran: with emphasis on the Alvand plutonic complex. – N. Jb. Geol. Paläont. Abh. 247:295–312.
- Silva, M. M.V.G., Neiva, A. M. R., Whitehouse M. J., 2000- Geochemistry of enclaves and host granites from the Nelas area, Central Portugal. Lithos 50, 153–170.
- Sun, S. S., McDonough, W. F., 1989- Chemical and isotopic systematic of ocean basalts: Implication for mantle composition and processes, In: Saunders, A. D. and Norry, M. J., Ed., Magmatism in Ocean Basins”, Geological Society of London Special Publication, 42, p. 313-345.
- Vernon, R. H., 1983- Restite, xenoliths and microgranitoid enclaves in granites (Clarke Memorial Lecture). Journal and Proceedings of the Royal Society of New South Wales, **116**, 77-103.
- Yilmaz, S. S., 2005- Geochemistry of mafic microgranular enclaves in the Tamdere Quartz Monzonite, south of Dereli/Giresun, Eastern Pontides, Turkey. Chemie der Erde.2005 in press.
- Zorpi, M. J., Coulon, C., Orsini,J. B., 1991- Hybridization between mafic and felsic magma in calc – alkalin granitoids – a case study northern Sardina, Italy. In: A,Peccerillo (Guest – Editor) Geochemistry of granitoid rockes , chem.Geol. 92,42-86.

Reducing Atmospheric Water Vapor Effects on the Interferogrammetric SAR Products using MERIS-FR and GPS (Case Study: Mashhad Subsidence)

S. Adham Khiabani^{1*}, M. R. Mobasher¹, M. J. Valadanzoj¹ & M. Dehghani²

¹Faculty of Geodesy and Geomatics Engineering, K. N. Toosi University of Technology, Tehran, Iran

²Dept. of Civil and Environmental Engineering, School of Engineering, Shiraz University, Shiraz, Iran

Received: 2009 October 11 Accepted: 2010 October 30

Abstract

SAR interferometry has shown its abilities in measuring the surface deformation in various applications. Atmospheric signals as an important factor affecting the interferometric measurements have temporally uncorrelated and complicated behavior. In this paper, a model based on the error source is presented to reduce the atmospheric contributions on the interferometric measurements in Mashhad subsidence area. In this model, the Full-Resolution (RF) MODIS data and meteorological information were used in order to estimate the water vapor and reduce the pressure effect, respectively. Moreover, water drops as well as the clouds effects were considered in the proposed model. Utilizing error propagation, model error was estimated as 7.2 mm. The Root Mean Square Error (RMSE) as a quantitative comparison between GPS measurements and interferometric results showed an improvement from 9 mm (before atmospheric correction) to 2 mm after applying the correction model.

Keywords: Remote sensing, SAR interferometry, MERIS, GPS.

For Persian Version see pages 123 to 128

*Corresponding author: S. Adham Khiabani; E-mail:Adham@IEEE.org

The Determining of the Nature of Magmatic Encalves in Granites of Malayer Plutonic Complex based on Geochemical and Statistical Methods

R. Deevsalar^{1*}, M. V. Valizadeh² & V. Ahadnejad³

¹ Faculty of Basic Sciences, Department of Geology, Tarbiat Modares University, Tehran, Iran

² College of Science, Faculty of Geology, University of Tehran, Tehran, Iran

³ Payame Noor University, Tehran, Iran

Received: 2009 September 08 Accepted: 2010 October 30

Abstract

Granitic rocks of Malayer plutonic complex contain varieties of enclaves with different shapes, sizes, mineralogy and chemical composition. The interpretation of bivariant geochemical diagrams of major oxides and trace elements with respect to higher values of some of oxides such as MnO, TiO₂, MgO, CaO & FeO, than host rocks in one groups of enclaves and moreover linear trend of these oxides and some of trace elements such as Ni, Cr, V indicate to different nature and mafic source of these enclaves (Mafic type) than host rocks and other enclaves (Felsic type). The study of chemical composition of this enclaves by using of univariant and bivariant statistical methods (bivariant regression analysis, correlation coefficients, cluster analysis and principle component analysis) indicate clear chemical contrast between mafic enclaves with felsic enclaves and granitic host rocks and in other side chemical affinity of felsic enclaves and their host rocks. Distinctive distribution of the majority of oxides and trace elements of mafic enclaves and host rocks and low values for R² in regression analysis, low value of correlation coefficient of major element oxides and trace elements between enclaves and their host rocks, separate position of samples in cluster pattern and special direction of variants and samples of vectors in bivariant diagram of principle component analysis (PCA) are outputs of different geochemical characteristics of enclaves and host rocks. Moreover this correlates with different trends of each major oxides and trace elements in bivariant geochemical diagram (Harker diagram).

Keywords: Enclave, Host Rock, Mineralogy, Geochemistry, Correlation Coefficient, Statistical Methods

For Persian Version see pages 129 to 140

*Corresponding author: R. Deevsalar; E-mail: Reza_dsalar@yahoo.com